

電氣機械 作動源으로서의 回轉磁界

(The Rotating Field as an Operating Source of Electrical Machinery)

解說
16-1-2

康 昌 遊*

(Chang-eon Kang)

1. 緒 言

電氣機械가 交流의 電力源으로서 作動할때는 印加된 交流電源이 單相 또는 二相, 三相, …多相인가에 따라서 交番磁界 移動磁界, 回轉磁界를 形成하여 이들 각각의 磁界는 諸般 電氣機械의 目的 및 用途에 따른 設計 및 製作過程에 따라서 必要로 하는 磁界를 發生케 하며, 發生된 磁界는 이들 電氣機械를 所要의 目的로 作動케 할 것이다.

移動磁界는 誘導型積算電力計等을 作動시키는 磁界로서 서로 位相이 다른 電流가 流하는 二個의 Coil을 回轉磁界의 方向과 同一方向으로 配分할 때 生起하는 磁界로서 電力計 圓板의 一部分을 移動해서 驅動 Torque를 發生케 한다. 따라서 移動磁界는 回轉磁界의 一種으로 看做해서 解析할 수 있으므로 여기서는 交番磁界 및 回轉磁界的 理論的인 解析 및 多相交流를 加算 때 回轉磁界的 變化 脈動現象 및 이의 除去策에 對하여 詳述코자 한다.

2. 交番磁界

電氣機械에 單相交流를 印加하면 이때 單相交流는 交番磁界를 形成하면, 이 交番磁界에 依하여 電氣機械는 作動케 된다. 지금 그림 1과 같은 coil에 電流 $i = I_m \sin \omega t$

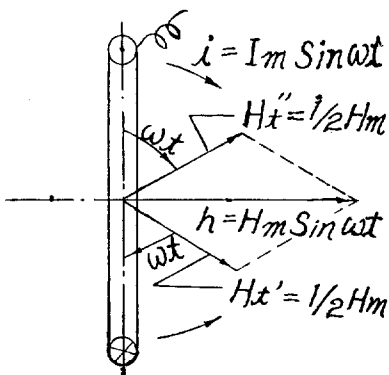


그림 1. 單相交流에 依한 交番磁界

* 延世大學校 理工大 電氣工學科, 正會員.

Dept. of Electrical Eng, College of Science & Engineering, Yonsei University(M)

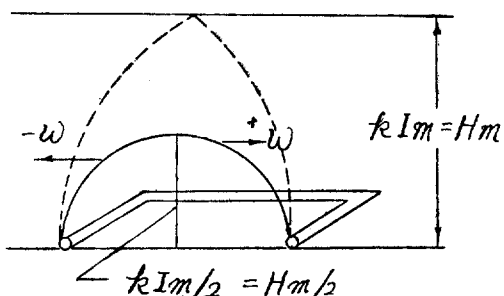


그림 2. 單相 Coil에 依한 磁界分布

가 印加되었다면 交番磁界的 最大值는 $H_m = kI_m$ 로 된다. 만약 交番磁界를 回轉機에 應用했다면 最大值 H_m 의 交番磁界는 最大值가 $H_m/2$ 이고 角速度는 w 로서 反時計方向 및 時計方向으로 回轉할려는 二個의 回轉磁界와 等價인 것으로 生覺할 수 있다.

그림 1에서 磁界는 x 軸에 $h = H_m \sin \omega t$ 의 交番磁界를 H'_t 와 H''_t 라면 $t=0$ 에 있어서 H'_t 는 y 軸의 (+)方向에 一致하고 H''_t 는 y 軸의 (-)方向에 있으므로 $H'_t + H''_t = 0$. 任意의 時間 t 에 있어서는 그림 2와 같이 되고 兩者와 的合成은 圖示한 것과 같이 $H_m \sin \omega t$ 로 된다. 여기서 $wt = \pi/2$ 일 때는 $H'_t + H_t$ 는 x 軸上에 있고 그 合成은 H_m 이다.

單相線에 依하여 生起하는 磁界的 最大值를 kI_m 이라하고 任意의 電氣角 θ 에서 磁界的 強度 h 는 다음과 같아 된다.

$$h = kI_m \cos \omega t \cdot \cos \theta = \frac{kI_m}{2} \{ \cos(\omega t - \theta) + \cos(\omega t + \theta) \} \quad \dots(1)$$

故로 最大值 kI_m 의 1/2을 最大值로 하고 方向은 서로相反되며 角速度가 w 로서 移動하는 二個의 磁界的 合成의 最大值가 kI_m 인 交番磁界로 된다.

3. 平衡交流에 依한 回轉磁界

A. 二相交流에 依한 回轉磁界

같은 構造의 Coil을 그림 3과 같이 90° 의 角度로 配置하고 각각의 Coil에 다음과 같은 平衡電流를 흘리면

$$\begin{cases} i_1 = I_m \sin \omega t \\ i_2 = I_m \sin \left(\omega t - \frac{\pi}{2} \right) \end{cases} \quad \dots(2)$$

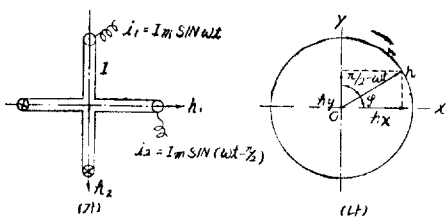


그림 3. 2 相 Coil에 依한 回轉磁界

그림 3에서와 같이 i_1, i_2 에 比例하는 磁界 h_1, h_2 가 생긴다. H 를 h_1, h_2 에 依한 合成磁界라면

$$\begin{aligned} H &= \sqrt{h_1^2 + h_2^2} \exp\left(-j\tan\frac{h_2}{h_1}\right) = H_m \exp\left[-h_j \tan^{-1}(-\cot wt)\right] \\ &= H_m \exp\left[-j\tan^{-1}\left\{\tan\left(wt - \frac{\pi}{2}\right)\right\}\right] = H_m \exp(j\left(\frac{\pi}{2} - wt\right)) \end{aligned} \quad \dots \dots \dots (3)$$

(但 $H_m = kI_m$)

即 두 코일에 生起는 合成磁界는 H_m 로서 $t=0$ 일 때 位相角 $\frac{\pi}{2}$ 이며 y 의 正方向에 있고 時間 t 에 있어서는 角速度가 w 이고 回轉方向이 時計方向인 圓形回轉磁界임을 알 수 있다.

이것을 그림 4에서 表示한바와 같이 a, b 코일의 幅을

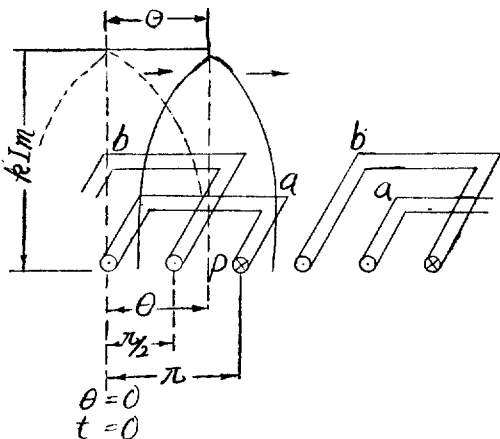


그림 4. 2 相 Coil에 依한 磁界分布

電氣角으로 表示해서 이를 順次로 90°式 配置할 때 a, b 코일의 만드는 磁界分布는 正弦波形으로 分布되므로 0點을 基準으로 右側方向의 電氣角 θ 인 點 p 의 磁界的 세기는

$$\begin{aligned} h_a &= H_m \sin wt \cdot \sin \theta \\ h_b &= H_m \sin\left(wt - \frac{\pi}{2}\right) \cdot \sin\left(\theta - \frac{\pi}{2}\right) \\ &= H_m \cos wt \cdot \cos \theta \end{aligned} \quad \dots \dots \dots (4)$$

合成磁界는

$$h_J = h_a + h_b = H_m \cos(wt - \theta) \quad \dots \dots \dots (5)$$

이다.

式(5)에서 보는 바와 같이 $t=0$ 일 때는 $\theta=0$ (原點 0)로서 $H_0 = H_m$ 이며 p 點에서는 $H_m \cos \theta$ 이다. (點線表示) 또 $t =$

w 秒後의 磁界分布는 實線表示와 같이 $wt=\theta$ 에서 最大로 된다. 故로 $t = \frac{\theta}{w}$ 秒後 磁界가 $wt=\theta$ 만큼 右側으로 移動함을 알 수 있다.

B 對稱三相交流에 依한 回轉磁界

120°式時計方向으로 配置된 세 개의 코일에 式 6과 같은 三相對稱交流를 加하면

$$\begin{cases} i_1 = I_m \sin wt \\ i_2 = I_m \sin\left(wt - \frac{2}{3}\pi\right) \\ i_3 = I_m \sin\left(wt - \frac{4}{3}\pi\right) \end{cases} \quad \dots \dots \dots (6)$$

各 코일에 正方向으로 나타나는 磁界는 그림 5과 같은

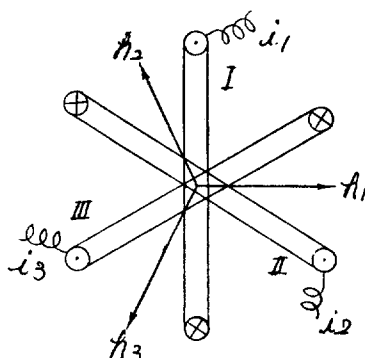


그림 5. 3 相 Coil에 依한 回轉磁界圖

方向으로 나타나고 그크기는

$$\begin{cases} h_1 = kI_m \sin wt = H_m \sin wt \\ h_2 = kI_m \sin\left(wt - \frac{2}{3}\pi\right) = H_m \sin\left(wt - \frac{2}{3}\pi\right) \\ h_3 = kI_m \sin\left(wt - \frac{4}{3}\pi\right) = H_m \sin\left(wt - \frac{4}{3}\pi\right) \end{cases} \quad \dots \dots \dots (7)$$

로 된다. 지금 이 磁界 h_1, h_2, h_3 를 x, y 軸成分으로 分解하면

$$\begin{aligned} H_x &= h_1 + h_2 \cos\left(-\frac{2}{3}\pi\right) + h_3 \cos\left(-\frac{4}{3}\pi\right) \\ &= kI_m \left[\sin wt - \frac{1}{2} \sin\left(wt - \frac{2}{3}\pi\right) - \frac{1}{2} \sin\left(wt - \frac{4}{3}\pi\right) \right] \\ &= \frac{3}{2} kI_m \sin wt = \frac{3}{2} H_m \sin wt \end{aligned}$$

$$H_y = h_1 \sin 0 + h_2 \sin\left(-\frac{2}{3}\pi\right) + h_3 \sin\left(-\frac{4}{3}\pi\right)$$

$$= \frac{3}{2} kI_m \cos wt = \frac{3}{2} H_m \cos wt$$

따라서 合成磁界 H 는 다음과 같이된다.

$$\begin{aligned} H &= \sqrt{H_x^2 + H_y^2} \exp(j\frac{H_y}{H_x}) = \frac{3}{2} H_m \exp\left\{j\tan^{-1}(\cos wt)\right\} \\ &= \frac{3}{2} H_m \exp\left\{j\left(\frac{\pi}{2} - wt\right)\right\} \end{aligned} \quad \dots \dots \dots (8)$$

即 合成磁界는 한 코일이 形成하는 最大磁界의 3/2倍이고

$t=0$ 때 位相角 $\frac{\pi}{2}$ 로서 w 인 角速度로 時計方向으로 回

轉하는 回轉磁界이다.

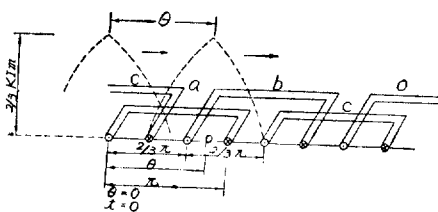


그림 6. 3相 Coil에 依한 磁界分布

그림 6에서 表示한 바와 같이 a,b,c 고일이 $\frac{2}{3}\pi$ 式 電氣角으로 配列된 고일에 對稱三相交流를 加할 때 点 0로부터 θ 되는 任意의 點 P의 磁界는

$$h_a = kI_m \sin \omega t \cdot \sin \theta = \frac{1}{2} kI_m [\cos(\omega t - \theta) \cos(\omega t + \theta)]$$

$$h_b = kI_m \sin(\omega t - \frac{2}{3}\pi) \cdot \sin(\theta - \frac{4}{3}\pi)$$

$$= \frac{1}{2} kI_m [\cos(\omega t - \theta) - \cos(\omega t + \theta - \frac{4}{3}\pi)]$$

$$h_c = kI_m \sin(\omega t - \frac{4}{3}\pi) \cdot \sin(\theta - \frac{4}{3}\pi)$$

$$= \frac{1}{2} kI_m [\cos(\omega t - \theta) - \cos(\omega t + \theta - \frac{2}{3}\pi)]$$

P點의 合成磁界 H_0 는

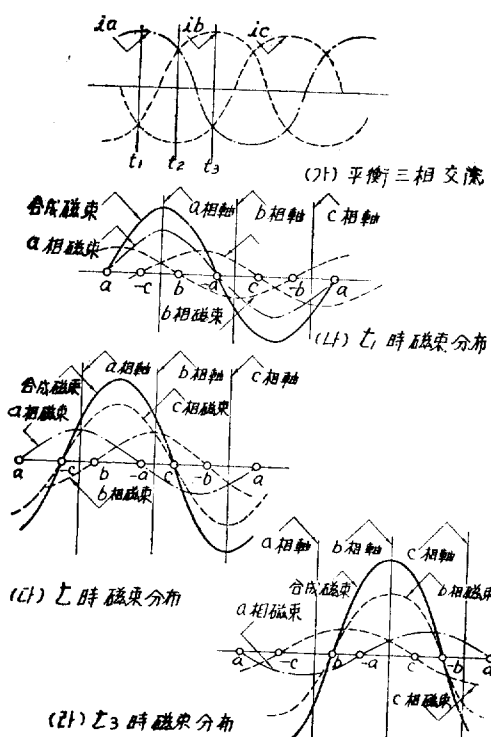


그림 7. 平衡三相交流의 $t_1, t_2, t_3, t_4, t_5, t_6$ 時 磁束에 依한 回轉磁界 形成 解說圖

$$H_0 = h_a + h_b + h_c = \frac{3}{2} kI_m \cos(\omega t - \theta) \quad \dots\dots\dots(9)$$

가 된다. 따라서 $\frac{3}{2} kI_m$ 을 最大로, ω 를 角速度로 θ 方向으로 移動함을 알 수 있다.

C. 回轉磁界의 形成解說

三相電氣機械의 固定子에 그림 7(가)와 같은 電流를 三相對稱으로 印加할 때 이 卷線에 依하여 回轉磁界가 生起하는 理由를 圖形으로 解說하여 보면 지금 그림 7에서 (가)에 依한 磁界分布는 t_1, t_2, t_3 에 있어서 각각 그림 7(나), (다)(라)와 같이 되고 a相電流 i_a 는 t_1 에서 陽으로 最大가 되고 b,c相電流 i_b, i_c 는 半最大值로 된다. 이때 磁束分布도 그림 7(나)에 依하 같다.

即 正電流에 依한 磁束도 a相에서 最大, b,c相에서는 半으로 된다.

다음 t_2 에서 c相電流는 負로 最大值가 되고 a,b相電流는 正의 半最大值가 된다. 그림 7(다)에서 a相의 磁束分布는 t_1 에서와 同一하여 振幅은 前振幅의 半으로 되어 있다. b相의 磁束分布는 前과 同一한 振幅을 갖고 있으나 電流가 反轉되어 있으므로 t_1 때와는 그 形成特性이 反對로 된다. c相의 磁束分布는 極性이 t_1 에서와 同一이나 그 振幅이 两倍로 되어 있다. 또 合成磁束分布를 보면 磁束波形은 移動하고 있음을 알 수 있다.

t_3 에 依한 磁束分布도 t_1, t_2 때와 恰似한 過程을 거쳐 그림 7(라)와 같이 t_2 때보다 右側으로 移動되어 있다. 따라서 合成磁束은 固定子 鐵心을 따라서 一定한 速度로 逆轉하는 것을 알 수 있다. 瞬間에서 한週期가 지난 後合成磁束은 그림 7(나)의 位置에 돌아오게 된다.

지금 f cycle의 電流가 p極 固定子 卷線에 通할 時 合成磁束은 每 cycle當 $\frac{p}{2}$ 만큼 回轉한다.

D. 對稱 3相 交流에 依한 回轉磁界

같은 構造의 고일 3個를 時計方向으로 $\frac{2\pi}{n}$ 式 配置하고 n 相 對稱電流를 흘릴 때 각 고일이 中心에서 正方向으로 나타나는 磁界는 각각

$$\left. \begin{aligned} h_1 &= kI_m \sin \omega t \\ h_2 &= kI_m \sin \left(\omega t - \frac{2\pi}{n} \right) \\ h_n &= kI_m \sin \left(\omega t - (n-1) \frac{2\pi}{n} \right) \end{aligned} \right\} \dots\dots\dots(10)$$

가 된다. 이를 각各 x, y 軸 成分으로 分解 合成하면 다음과 같이 된다(但 h_1 方向을 x 軸으로 함)

$$\begin{aligned} h_x &= h_{1x} + h_{2x} + \dots + h_{nx} = \sum_{k=1}^n h_{kx} = kI_m \sum_{k=0}^{n-1} \sin \left(\omega t - \frac{2\pi k}{n} \right) \cos \left(-\frac{2\pi k}{n} \right) \\ &= kI_m \sum_{k=0}^{n-1} \left\{ \sin \omega t \cdot \cos^2 \frac{2\pi k}{n} - \cos \omega t \cdot \sin \frac{2\pi k}{n} \cdot \cos \frac{2\pi k}{n} \right\} \\ &= -\frac{kI_m}{2} \sum_{k=0}^{n-1} \left\{ \sin \omega t + \sin \omega t \cdot \cos \frac{4\pi k}{n} - \cos \omega t \sin \frac{4\pi k}{n} \right\} \end{aligned}$$

5. 不平衡 電流에 依한 回轉磁界

A. 二相 不平衡 電流에 依한 回轉磁界

그림 9에서 두 개의 코일에 $i_1=I_{m1} \sin \omega t$, $i_2=I_{m2} \sin(\omega t - \frac{\pi}{2})$ 와 같이電流값이不平衡인境遇에는 이를電流에依한磁界를時計方向과反時計方向의 두 개의回轉磁界로다음과 같이分解할 수 있다.

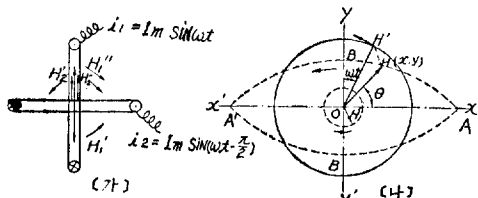


그림 9. 不平衡 2 相電流에 依한 楕圓型 回轉磁界

$$H'' = \frac{k}{2} (I_{m1} + I_{m2})$$

$I_{m1} > I_{m2}$ 라면

$$H' = \frac{k}{2} (I_{m1} - I_{m2})$$

H'' 와 H' 의任意時間 t 에서合成 H 를 그림 9에서 보여주고 있다. H 의 x, y 軸成分을 H_x, H_y 라면

$$\begin{cases} H_x = (H'' + H') \sin \omega t \\ H_y = (H'' - H') \cos \omega t \end{cases} \quad (21)$$

$$\text{故로 } \frac{H_x^2}{(H'' + H')^2} + \frac{H_y^2}{(H'' - H')^2} = 1 \quad (22)$$

式(22)는椭圓의方程式이고 H 는 $AA' = 2(H'' + H')$ 을長軸으로 $BB' = 2(H'' - H')$ 을短軸으로 하는椭圓回轉磁界이다.任意大時間 t 에서 H 의크기와 y 軸과이루는角을 θ 라면

$$\begin{cases} H = \sqrt{(H'' + H')^2 \sin^2 \omega t + (H'' - H')^2 \cos^2 \omega t} \\ \theta = \tan^{-1} \left(\frac{(H'' + H') \sin \omega t}{(H'' - H') \cos \omega t} \right) = \tan^{-1} \left(\frac{H'' + H'}{H'' - H'} \tan \omega t \right) \end{cases} \quad (23)$$

과같이 되어 H 의回轉速度는瞬時로 아래와 같이變化한다.

$$\frac{d\theta}{dt} = \frac{\omega \cdot \sec^2 \omega t}{1 + \left(\frac{H'' + H'}{H'' - H'} \right)^2 \tan^2 \omega t} = \frac{H'' + H'}{H'' - H'} \cdot \frac{H''^2 - H'^2}{H'^2 - H''^2} \omega \quad (24)$$

따라서回轉速度率은磁界세기의自乘에逆比例에서變化하여 H 가長軸에一致할때는 $H'' + H'^2 \omega$ 로最小角速度, short軸과一致할때는 $H'' - H'^2 \omega$ 로最大角速度가된다.

B. 三相 不平衡 電流에 依한 回轉磁界

그림 10에서 코일 I, II, III에 式(25)와 같은電流를흘릴때 코일中心軸에나타나는磁界는 式(26)으로서各 코일의磁界를正逆 두方向으로回轉하는두개의回轉磁界로分解해서 $t=0$ 되는瞬時의各回轉磁界는그림 10(나)와같이된다.

$$\begin{aligned} i_1 &= I_{m1} \sin \omega t \\ i_2 &= I_{m2} \sin(\omega t - 120^\circ) \\ i_3 &= I_{m3} \sin(\omega t - 240^\circ) \end{aligned} \quad \left. \begin{array}{l} i_1 = I_{m1} \sin \omega t \\ i_2 = I_{m2} \sin(\omega t - 120^\circ) \\ i_3 = I_{m3} \sin(\omega t - 240^\circ) \end{array} \right\} \quad (25)$$

$$\begin{aligned} h_1 &= kI_{m1} \sin \omega t \\ h_2 &= kI_{m2} \sin(\omega t - 120^\circ) \\ h_3 &= kI_{m3} \sin(\omega t - 240^\circ) \end{aligned} \quad \left. \begin{array}{l} h_1 = kI_{m1} \sin \omega t \\ h_2 = kI_{m2} \sin(\omega t - 120^\circ) \\ h_3 = kI_{m3} \sin(\omega t - 240^\circ) \end{array} \right\} \quad (26)$$

지금 $I_{m1} > I_{m2} > I_{m3}$ 라면 그림에서 (H'') 는圖示하지 않았으나 y 軸의正方向으로함 H_1, H_2', H_3 는 서로 120° 式各各位相差가있고 $H'_1 > H'_2 > H'_3$ 이다. 이런境遇當然히 $H'' > H'$ 이고 H' 는時計方向, H'' 는反時計方向으로回轉하는磁界이다. 따라서크기가 다른正逆 두方向으

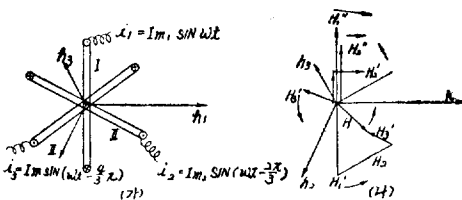


그림 10. 不平衡 3 相電流에 依한 楕圓型 回轉磁界

로回轉하는두개의圓形回轉磁界로서 그合成은2相不平衡電流의境遇가같이椭圓回轉磁界임을알수있다.

C. 두개 코일 電流에 依한 回轉磁界

任意大角度 φ 되는두개의코일에흐르는電流에依하여誘起되는磁界가 $h_1 = H_{1m} \sin \omega t$, $h_2 = H_{2m} \sin(\omega t - \theta)$ 일때合成磁界는一般으로椭圓回轉磁界이다. 그림 11에서 h_1, h_2 를正逆 두方向으로回轉하는圓形回轉磁界로分解할수있다. 이圓形回轉磁界는 $\omega t = \pi/2$ 되는瞬時에圖示의 aa' 와 bb' 로向하고反時計方向인回轉磁界 a 와 b 의合은 H_1 , 時計方向인回轉磁界 $a'b'$ 의合은 H_2 로나타내고있다. H_1 과 H_2 는 서로反對方向으로回轉하는圓形回轉磁界이므로兩者の合成은椭圓回轉磁界이다. 그래서

$$\begin{aligned} H_1 &= \frac{1}{2} \sqrt{(H_{1m} + H_{2m} \cos(\varphi - \theta))^2 + (H_{2m} \sin(\varphi - \theta))^2} \\ H_2 &= \frac{1}{2} \sqrt{(H_{1m} + H_{2m} \cos(\varphi + \theta))^2 + (H_{2m} \sin(\varphi + \theta))^2} \end{aligned} \quad (20)$$

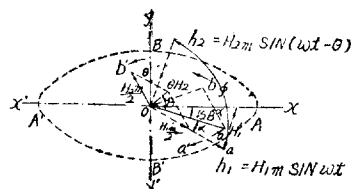


그림 11. 任意大角度 2 個 Coil 回轉磁界

또 $t=\pi/2$ 되는瞬時에 H_1 및 H_2 가 h_1 에向하는角을 α, β 라면 이것을 $\beta - \alpha/2w$ 秒만큼經過한瞬間에는 H_1 과 H_2 는重複되며이때合成磁界는最大値로서長軸 AA'

가 되며 AA' 와直角으로短軸 BB' 가 있다. 即長軸=2(H_1+H_2), 短軸=($H_1 \sim H_2$)가 됨을 알 수 있는데 $H_1 \geq H_2$ 에 따라서 楕圓回轉磁界的回轉方向이 反時計方向인가 時計方向인가를決定하며 $H_1 = H_2$ 일때는合成磁界는長軸方向의交番磁界이다.

D. V結線에 依한 回轉磁界

V結線은 그中性點接續方法에 따라서 그림 12(가) 및 그림 13(가)와 같이 두個的方法이可能하다.

지금 그림 12의 고밀 I, II에 依하여形成되는磁界는 다음과 같다.

$$\left. \begin{array}{l} h_1 = H_m \sin \omega t \\ h_2 = H_m \sin(\omega t - 120^\circ) \end{array} \right\} \quad (28)$$

正方向일 때 h_1, h_2 를 두個의圆形回轉磁界로 分解해서 $\omega t = 0$ 의瞬間に磁界를 그리면 그림 12(나)와 같이되고反時計方向의回轉磁界 H_1' 와 H_2 의合成은 H' , 時計方向인

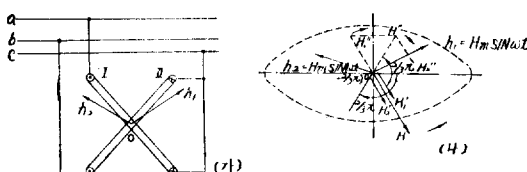


그림 12. 3相 V結線과 그에 依한 楕圓型回轉磁界

回轉磁界 H_1'' 와 H_2'' 의合成은 H'' 로 되므로 $H' = H_m$, $H'' = H_m/2$ 이므로兩者的合成은椭圓回轉磁界가된다.

그림 13(가)와 같이하면 h_1, h_2 는 그림과 같이된다. 따라서 이를 두個의圆形回轉磁界로 分解해서 $\omega t = 0$ 의瞬間に磁界를圖示하면 그림 13(나)와 같이 되며反時計方向의回轉磁界 H_1' 와 H_2' 는反對로된다. 이合成은零이고時計方向의回轉磁界 H_1'' 와 H_2'' 의合成은 H 로서其强度는 $\sqrt{3}H_m/2$ 이고이境遇에特別히 고밀 I, II에 依한磁界的세기가 H 인圆形回轉磁界이다.

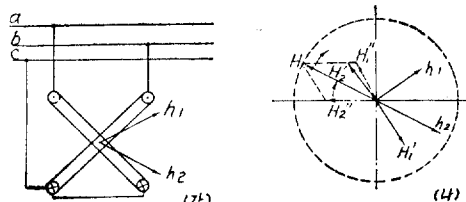


그림 13. 3相 V結線時 圓型回轉磁界

6. 楕圓回轉磁界的解析

그림 14는原點 0에 있어서椭圓의動徑에 따라서反時計方向으로回轉하는椭圓回轉磁界를 나타내는것이다. 楕圓回轉磁界는圖面에서와 같이 H_1 (實線表示)과 H_2 (點線表示)로 되는 two個의反對方向으로回轉하는磁界

의合成을生覺하면된다.

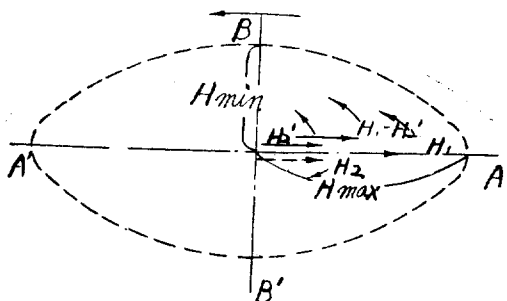


그림 14. 楕圓回轉磁界 分析 設明圖

이때椭圓動徑의最大值 H_{max} , 最小值 H_{min} 라면

$$\left. \begin{array}{l} H_1 + H_2 = H_{max} \\ H_1 \sim H_2 = H_{min} \end{array} \right\} \quad (29)$$

이다.

$$\text{故로 } \left. \begin{array}{l} H_1 = \frac{H_{max} + H_{min}}{2} \\ H_2 = \frac{H_{max} - H_{min}}{2} \end{array} \right\} \quad (30)$$

上記한 두個의圆形回轉磁界中 H_1 을 다시反時計方向으로回轉하는圆形回轉磁界인 $(H_1 - H_2')$ 와 H_2' (實線)로 나누어生覺하면(여기서 $|H_2'| = H_2$ 라 함)椭圓回轉磁界는 다음과 같이 세개의圆形回轉磁界로分解된다.

(a) 反時計方向回轉의圆形回轉磁界 $H_1 - H_2'$

(b) 反時計方向回轉의圆形回轉磁界 H_2'

(c) 時計方向回轉의圆形回轉磁界 H_2

여기서 (b)와 (c)는크기가 같고回轉方向이反對인磁界이므로 그合成은OA軸에交番하는磁界이다. OA를時間의越算點으로하면

$$h = 2H_2 \sin\left(\omega t + \frac{\pi}{2}\right) = (H_{max} - H_{min}) \sin\left(\omega t + \frac{\pi}{2}\right) \quad (31)$$

이다. 上과같이椭圓回轉磁界는圆形回轉磁界나交番磁界的合成으로生覺할수있다. 따라서一般으로椭圓回轉磁界는 다음과같이 세가지方法으로分解되는데 이들중에서 어떤方法으로든其分解해도 좋다.

(가) 角速度가 같고回轉方向이反對이며磁界的세기가 다른two個의圆形回轉磁界

(나) 한개의交番磁界와한개의원형회전자계

(다) 空間과時間의으로位相이 다른two개의交番磁界

7. 回轉磁界에 依한 誘起電壓

多相交流가印加됨에따라서回轉磁界가形成되며이回轉磁界에 依하여誘起되는電壓을 살펴보면우선印加電壓이正弦波이고各卷數은均一하며空隙은지나서磁束分布가一樣하게 다음과같이分布되었다고하면

$$\text{即 } B = B_m \sin \varphi \quad (32)$$

이고 L 을 極間隙이고 하면 每極當總磁束 b 는

$$b = \int_0^\pi L \cdot Bd\varphi = \int_0^\pi L \cdot B_m \sin \varphi d\varphi = 2L \cdot B_m \dots \dots \dots (33)$$

로서 나타낼수 있으며 이때의 誘起電壓을 e_a 라고 하면 $B \times L$ 에 回轉磁界의 速度 $v = 2\pi f$ 를 곱한 值로서 다음과 같이 된다.

$$e_a = B \cdot L \cdot v = B_m \sin \varphi \cdot L \cdot 2\pi f = B_m \cdot L \cdot 2\pi f \sin \omega t \dots \dots (34)$$

式(33)과 (34)에서

$$e_a = \frac{b}{2} \cdot 2\pi f \cdot \sin \omega t \dots \dots \dots (35)$$

따라서 線體 1 回線(1 turn)에 對한 電壓은 $b \cdot 2\pi f \cdot \sin \omega t$ 로 되고 도체가 N 回線 감겨져 있다면 이때의 誘起電壓 e_n 은

$$e_n = b \cdot 2\pi f \cdot N \sin \omega t \dots \dots \dots (36)$$

이다 따라서 實効值 E 는

$$E = \frac{2\pi f}{\sqrt{2}} \cdot N \cdot b \times 10^{-8} = 4.44 f \cdot N \cdot b \times 10^{-8} [\text{volts}] \dots \dots (37)$$

로 나타낼 수 있다.

8. 結 言

지금까지 交流機械를 作動케 하는 原理로서 交番磁界 및 回轉磁界的 原理를 理論的으로 解析하였으며 이들 磁界的 形成되는 過程을 圖說로 詳述하였다. 多相 交流印加時는 印加電流의 상태 또는 機械製作過程에 依하여 磁界的 形成過程이 圓形에서 楕圓으로 變하는 狀況을 考察할 때 製作時 섬세한 注意가 必要함을 다시 한번 일깨워준다.

또한 交流機械는 單相보다 二相이 더욱 安定狀態이고 二相보다는 三相이 더 効率的인 動作을 한다는 것은 回

轉磁界가 相數를 增加시킴에 따라 脈動現象이 減少하여 安定狀態로 뒤를 4節에서 알 수 있다. 그러나 實際의 商用電力源으로 서는 單相, 二相, 三相이므로 脈動現象을 없앨려면 位相變成裝置가 必要함으로 經濟的인 面에서나 容積面에서도, 不便하므로 現在는 그대로 使用하고 있는 實情이다. 即 脈動現象을 없애기 為해서는 相數를 줄이는 것 보다는 電氣機械設計過程에서 諸般 惡要素을 除去할 수 있다면 보다 高能率의 機械가 될 수 있음을 推理할 수 있다. 지금 同極 및 異極形成過程에 依하여 商用電力源으로도 이런 現象을 除去할 수 있음이 判明되어지고 있으나 앞으로 이에 對한 보다 많은 研究發展이 期待된다.

參 考 文 獻

1. Alternating Current Machinery by Bailey & Gault
2. Electric Machinery by Kingsley
3. Theory of Alternating current Machinery by Langsdorf
4. 電氣工學ハンドブック 電氣學會
5. 電壓調整方法改良을 為한 研究 康昌彥
6. 電氣機械 設計學 竹内壽太郎
7. 回轉磁界를 利用한 新しい 電氣機械 吳相世
8. 小形 回轉機 ハンドブック 太隅菊次郎茂楳
9. 三相回轉 村田愛祐
10. 一般電氣工學 丁性柱

1967年 5月 10日 接受